

5 レーダポーラリメトリの基礎

本資料の図面の多くは以下の文献より引用しています

山口芳雄 レーダポーラリメトリの基礎と応用、電子情報通信学会、2007

偏波 (Wave Polarization)

$$\mathbf{E}(z, t) = E_0 \cos(\omega t - kz) \hat{\mathbf{x}} \quad \text{x方向に電界成分をもつ平面波}$$

$$\mathbf{E} = \hat{\mathbf{x}} a e^{-j(kz - \phi_a)} + \hat{\mathbf{y}} b e^{-j(kz - \phi_b)}$$

x,y方向に電界成分を持つ平面波のフェーズ表示

これを成分毎に書き下せば:

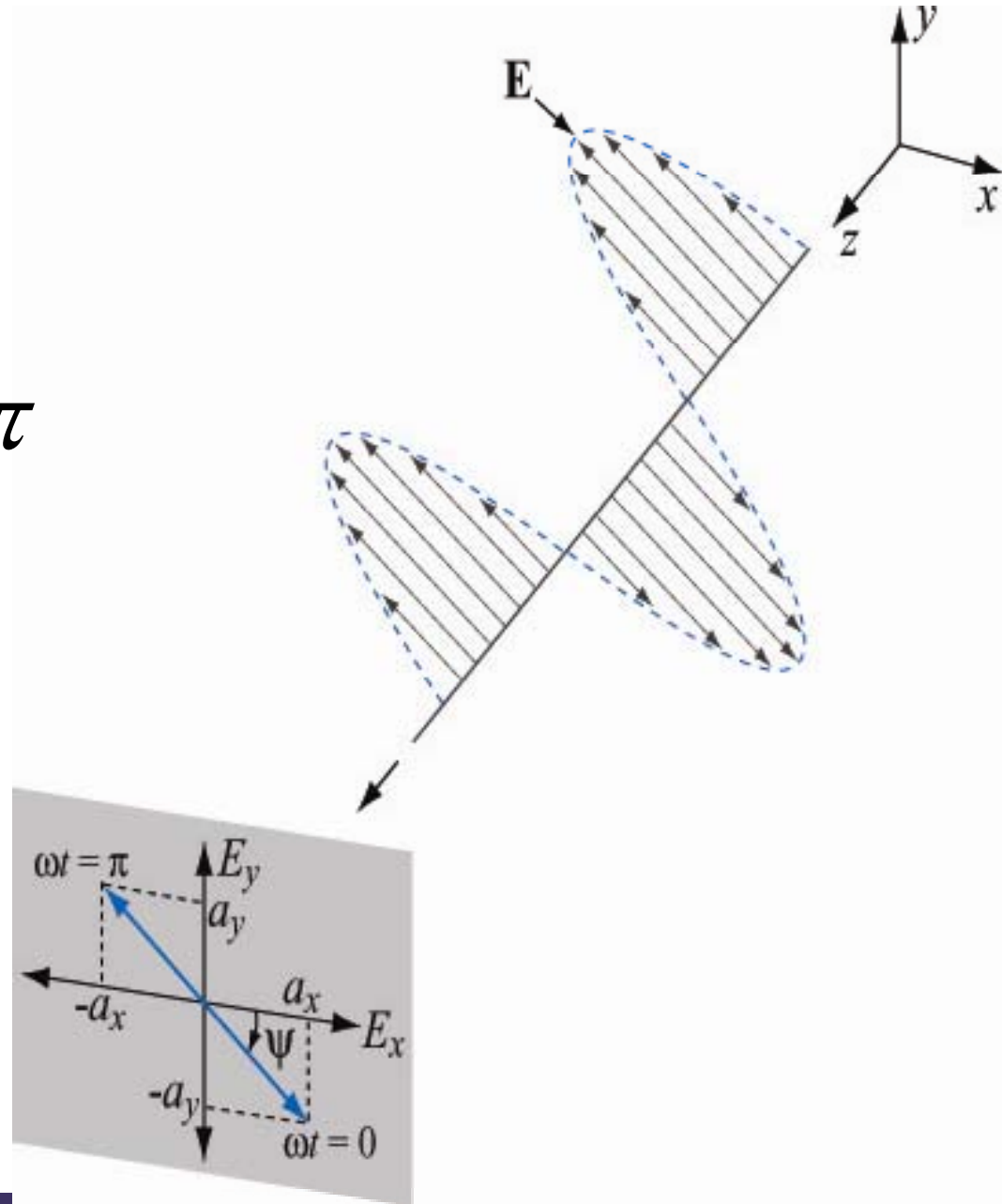
$$E_x = a \cos(\omega t - kz + \phi_a)$$

$$E_y = b \cos(\omega t - kz + \phi_b)$$

直線偏波

$$\phi = \phi_a - \phi_b = 0, \pi$$

$$E_y = \pm \left(\frac{b}{a}\right) E_x$$



円偏波

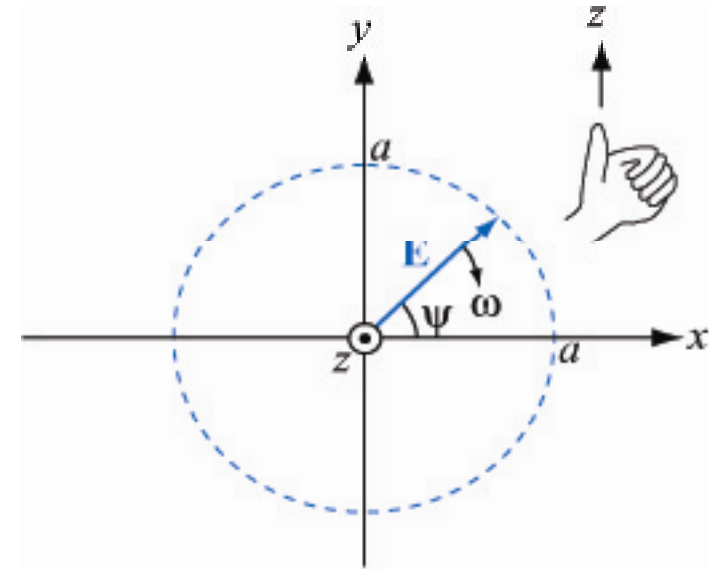
$$\phi = \phi_a - \phi_b = \pm \frac{\pi}{2}$$

$$A = \frac{b}{a} = 1$$

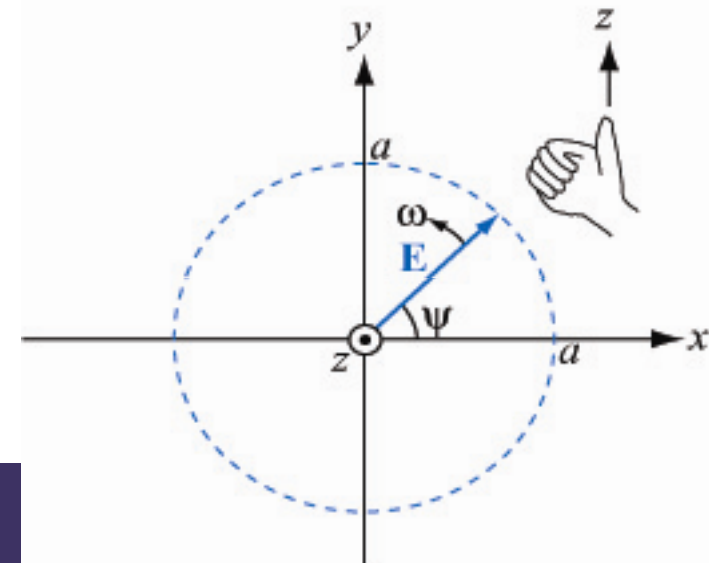
$$E_x = a \cos(\omega t - kz + \phi_a)$$

$$E_y = -b \sin(\omega t - kz + \phi_a)$$

$$E_x^2 + E_y^2 = a^2$$



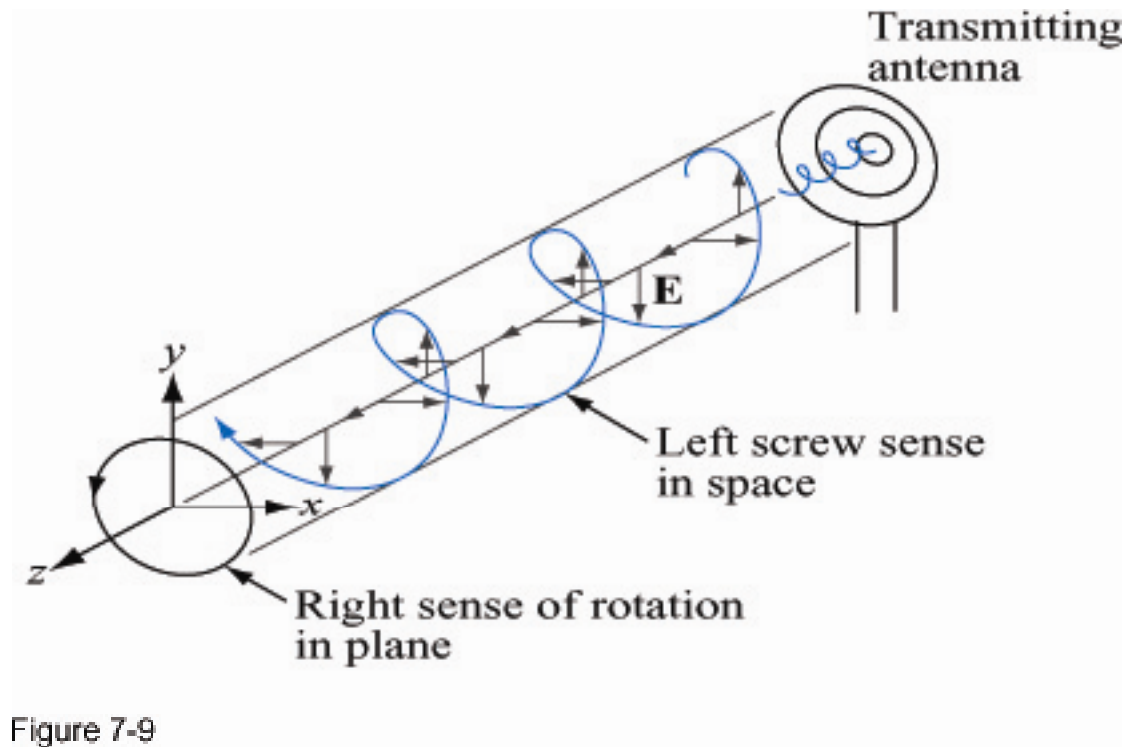
(a) LHC polarization



(b) RHC polarization



右旋円偏波



楕円偏波

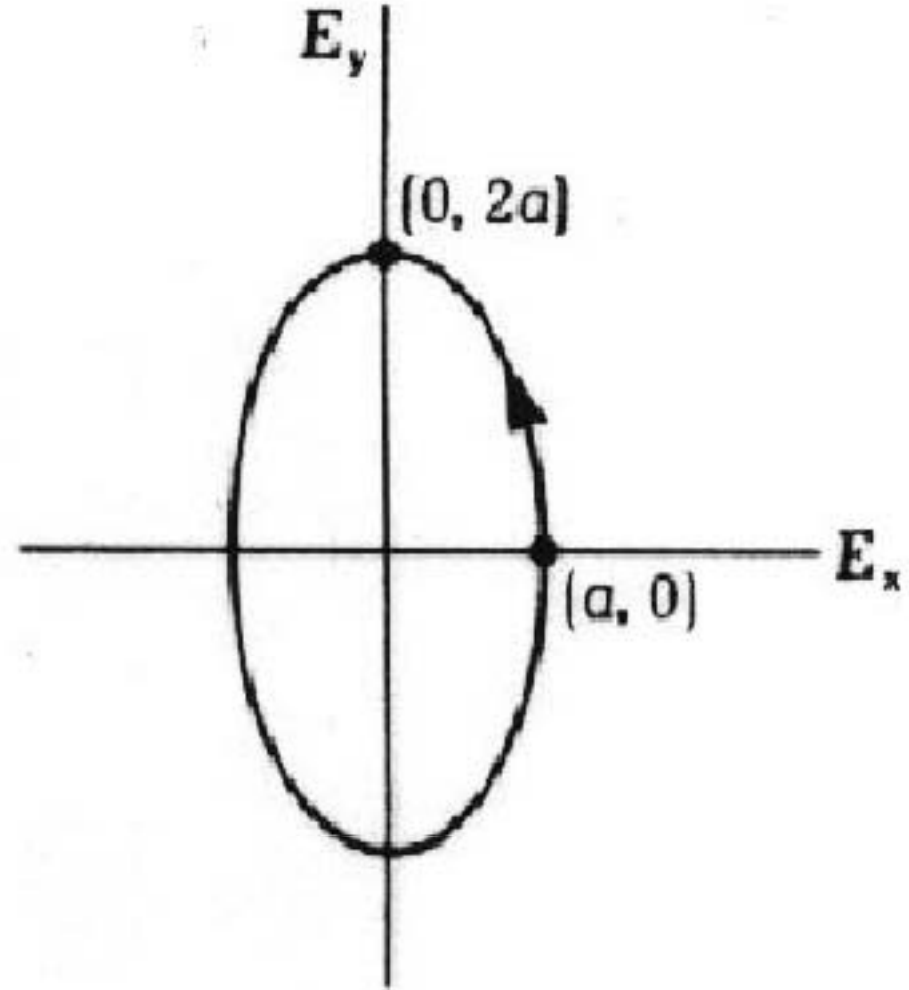
$$A = b / a = 2$$

$$\phi = -\pi / 2$$

$$E_x = a \cos(\omega t - kz + \phi_a)$$

$$E_y = 2a \sin(\omega t - kz + \phi_a)$$

$$\left(\frac{E_x}{a}\right)^2 + \left(\frac{E_y}{2a}\right)^2 = 1$$

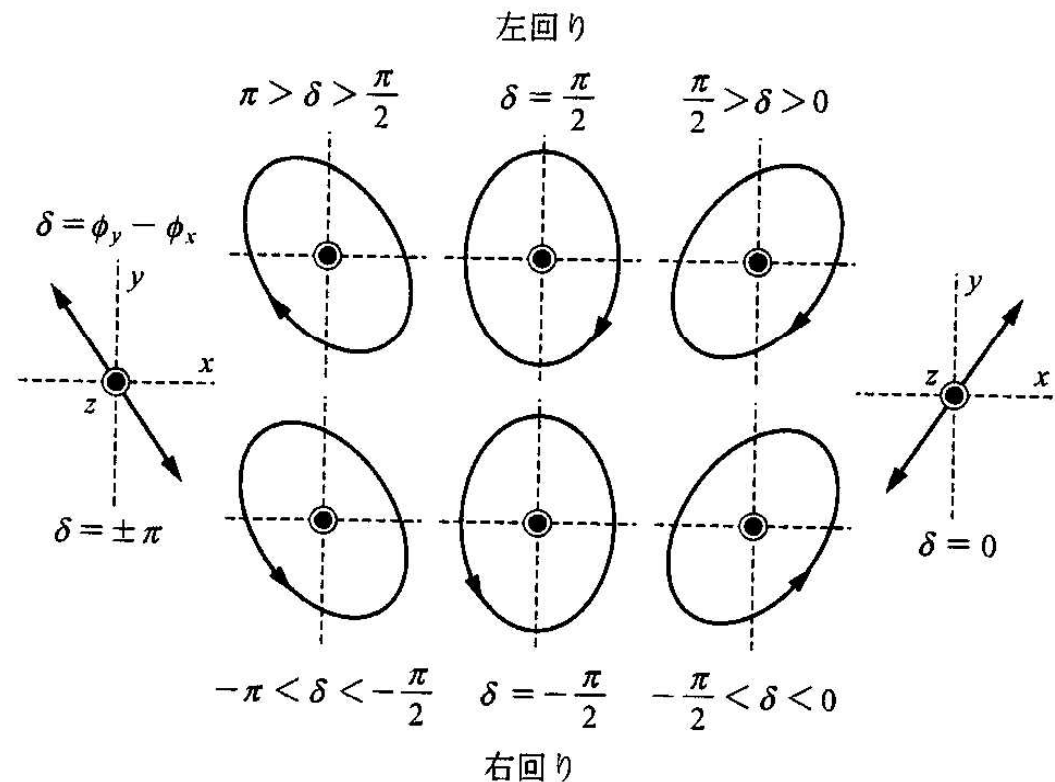


楕円偏波の一般形

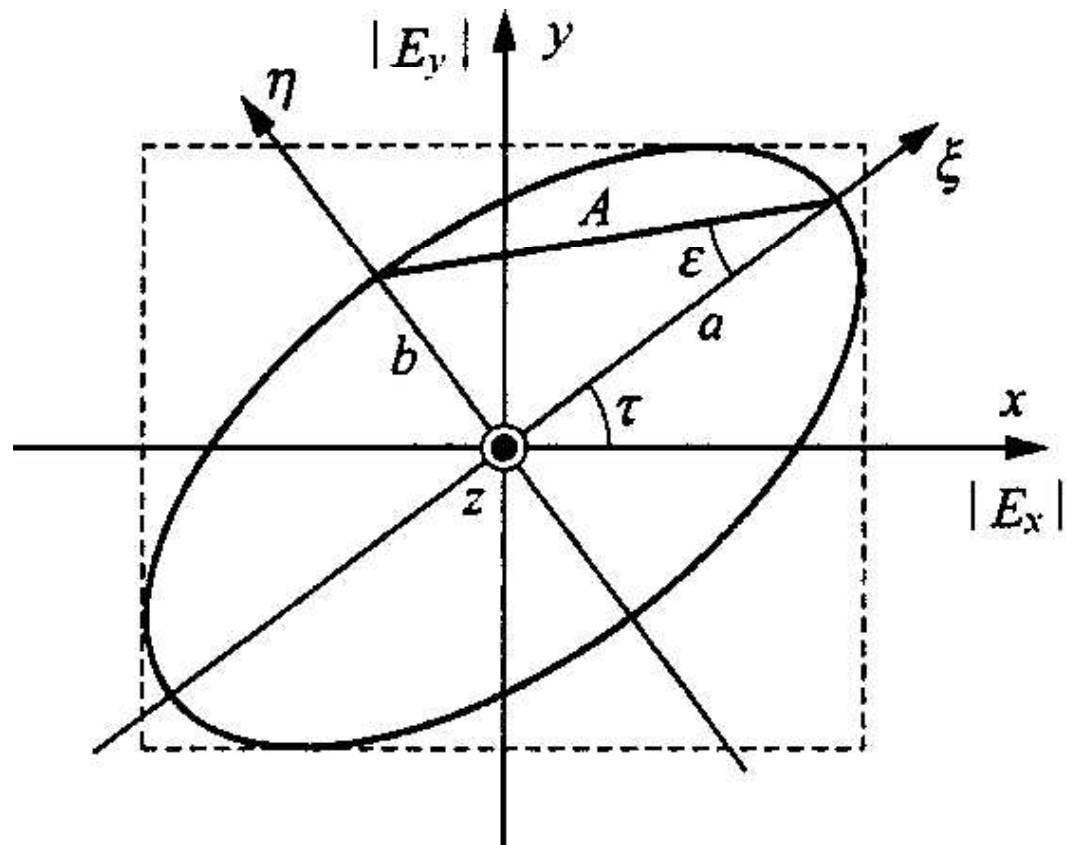
$$\mathbf{E} = (\hat{x}E_x + \hat{y}E_y)e^{-jkz}$$

$$\frac{E_y}{E_x} = Ae^{j\delta}$$

$$\delta = \phi_x - \phi_y$$



一般的な偏波状態の表現

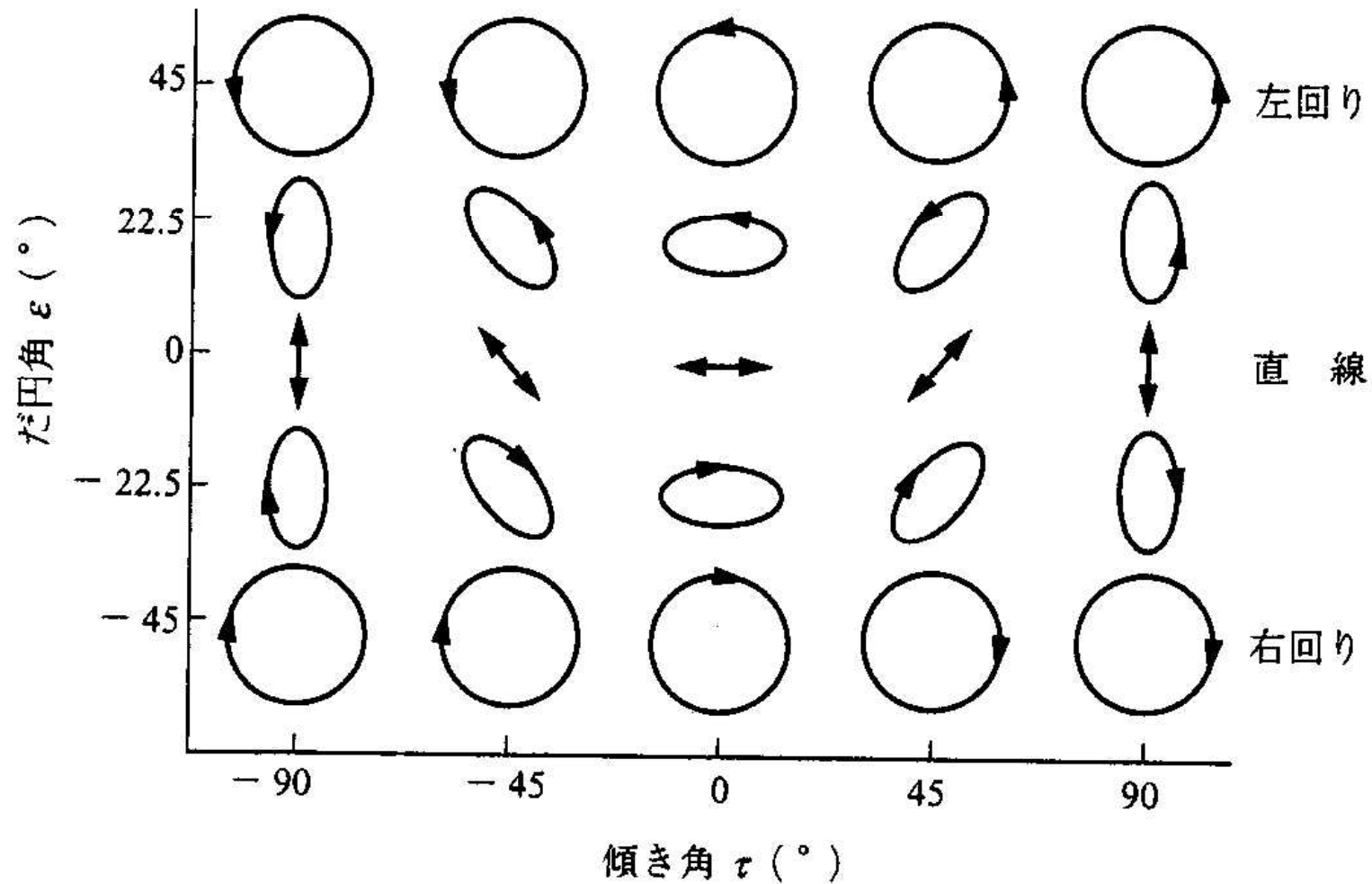


Tilt angle τ

(Orientation angle)

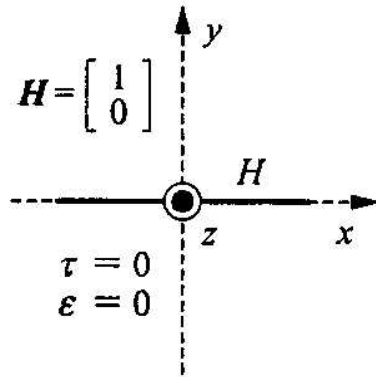
Ellipticity angle ε

偏波の表現

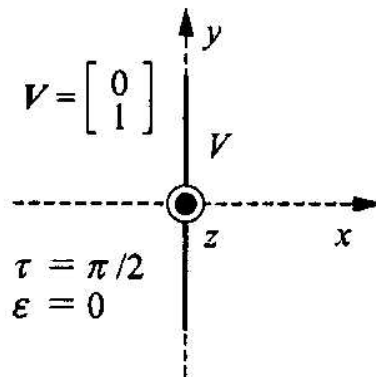


ジョーンズ ベクトル

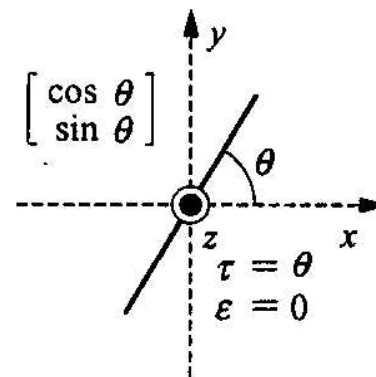
$$E_0 = \begin{bmatrix} |E_x| \\ |E_y| e^{j\delta} \end{bmatrix}$$



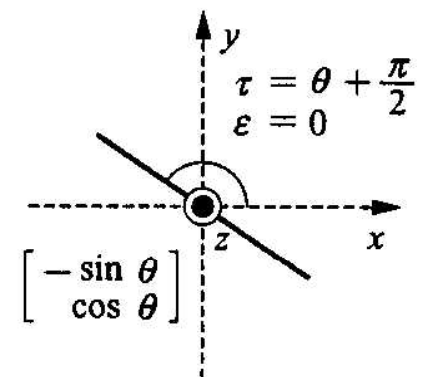
水平偏波



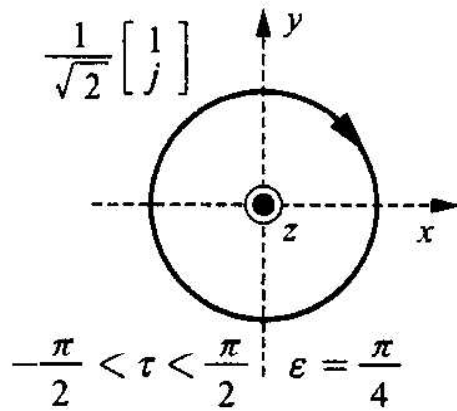
垂直偏波



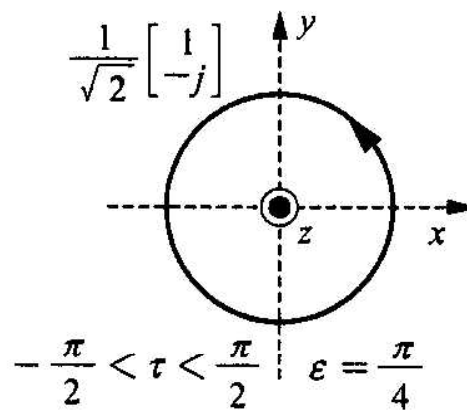
傾いた直線偏波



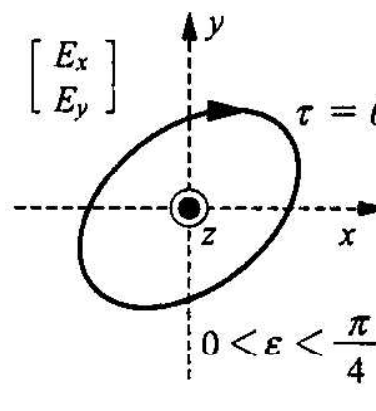
直交する直線偏波



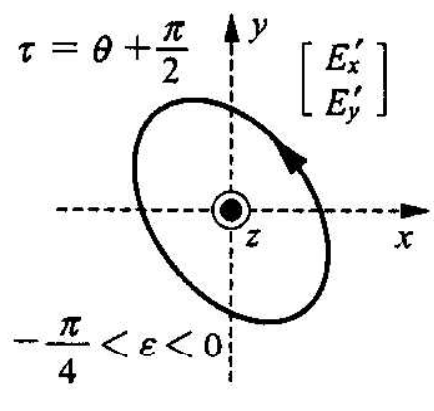
左回り円偏波



右回り円偏波



左回りだ円偏波



直交する右回りだ円偏波

偏波基底

直線偏波においてX成分とy成分は直交している。

同様に45度と135度も

散乱行列

$$\mathbf{E}^t = \begin{bmatrix} E_x \\ E_y \end{bmatrix}$$

送信電界

$$\mathbf{E}^i = \frac{e^{-jkr}}{\sqrt{4\pi r}} \mathbf{E}^t$$

散乱体への入射電界

$$\mathbf{E}^S = \begin{bmatrix} E_x^S \\ E_y^S \end{bmatrix} = \begin{bmatrix} S_{xx} & S_{xy} \\ S_{yx} & S_{yy} \end{bmatrix} \begin{bmatrix} E_x \\ E_y \end{bmatrix}$$

散乱電界

$$\mathbf{E}^S = [\mathbf{S}] \mathbf{E}^t$$

散乱行列による散乱電界の表示

規格化された散乱行列

$$[S] = \begin{bmatrix} S_{xx} & S_{xy} \\ S_{yx} & S_{yy} \end{bmatrix}$$

散乱行列

$$[S] = S_{xx} \begin{bmatrix} 1 & \frac{S_{xy}}{S_{xx}} \\ \frac{S_{yx}}{S_{xx}} & \frac{S_{yy}}{S_{xx}} \end{bmatrix} = S_{xx} \begin{bmatrix} 1 & \hat{S}_{xy} \\ \hat{S}_{yx} & \hat{S}_{yy} \end{bmatrix}$$

1成分での規格化

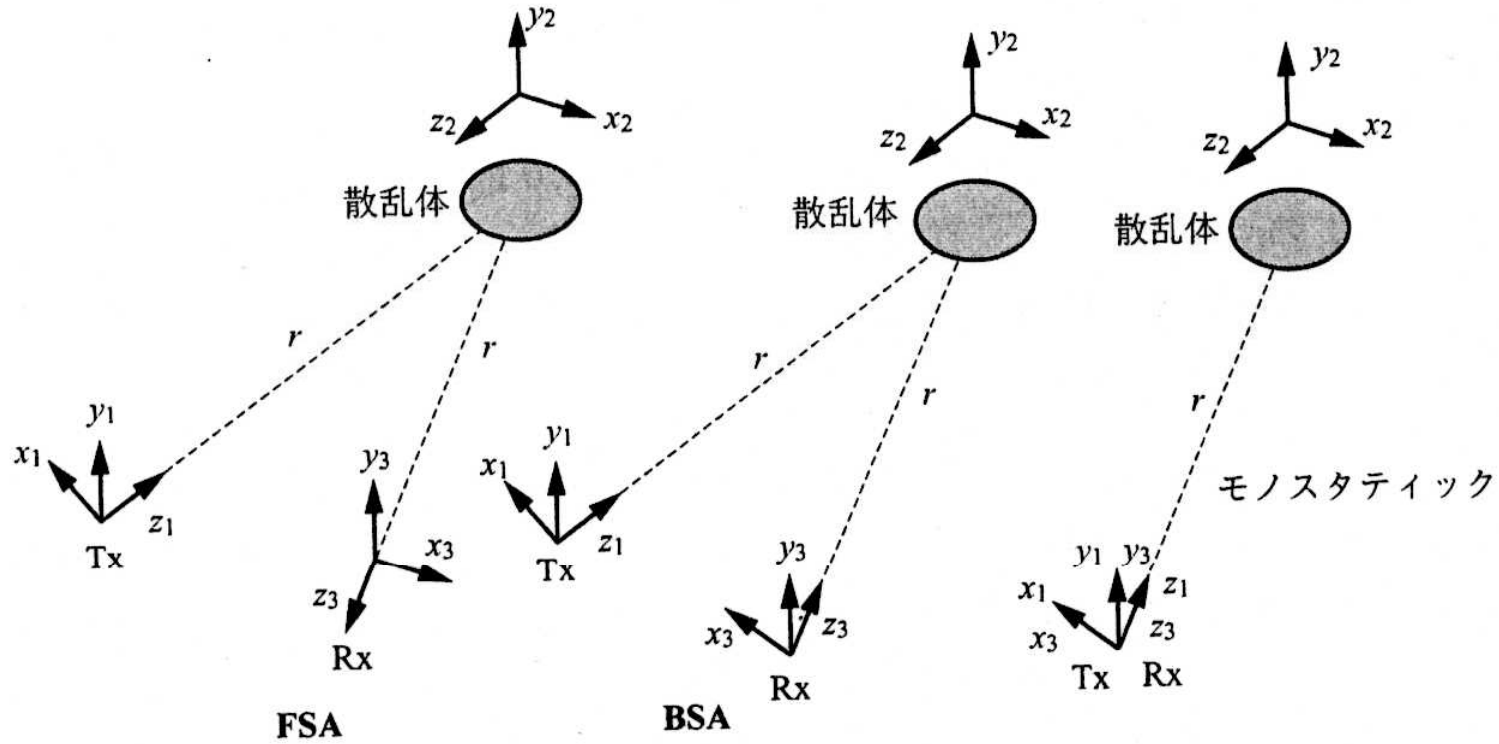
(複素表示)

$$[\hat{S}] = \begin{bmatrix} 1 & \hat{S}_{xy} \\ \hat{S}_{yx} & \hat{S}_{yy} \end{bmatrix}$$

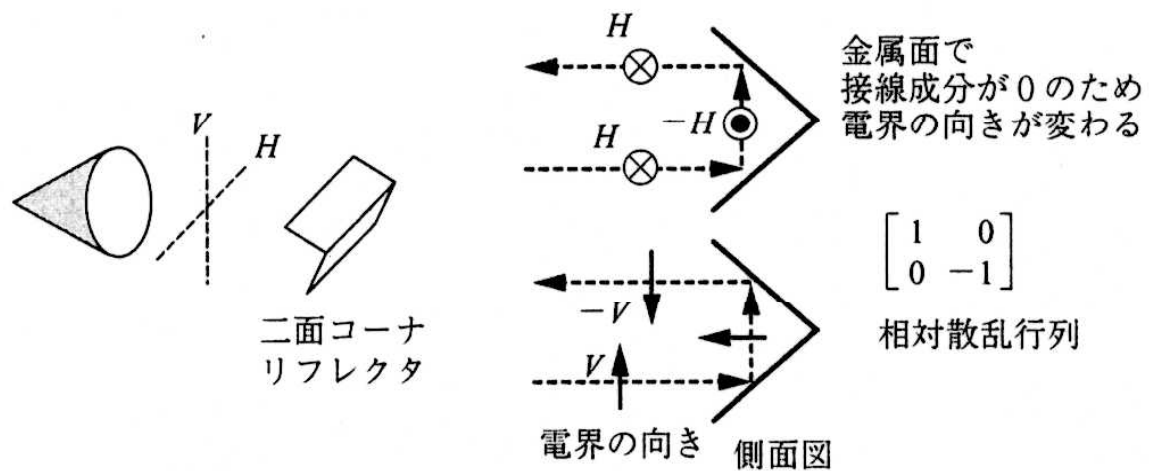
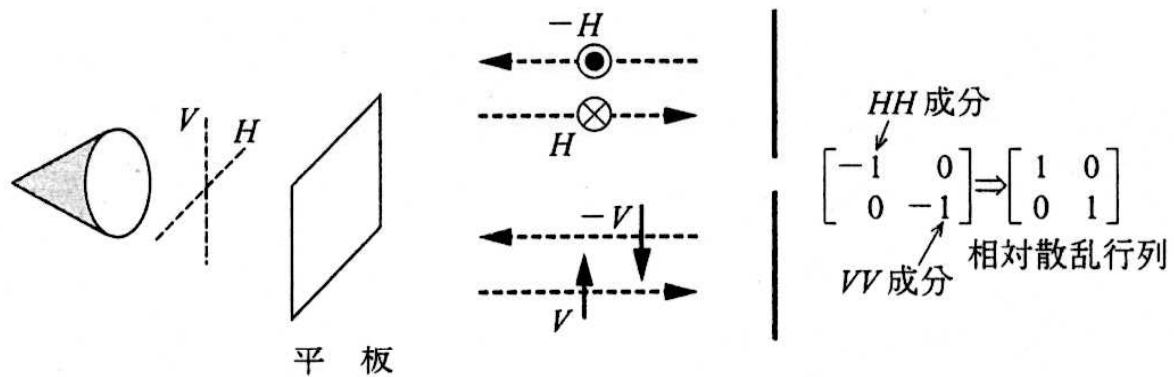
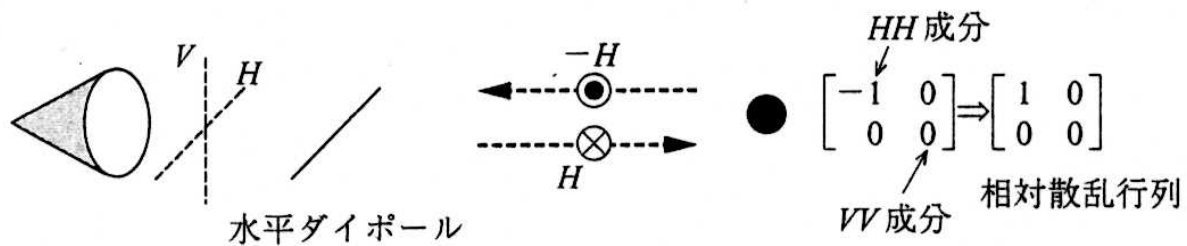
規格化された散乱行列

(位相の絶対値に意味がない)

散乱行列の座標系(BSA)



前方散乱 (Forward Scattering Alignment), Bistatic Scattering Alignment, 後方散乱 (Monostatic Scattering Alignment) の比較



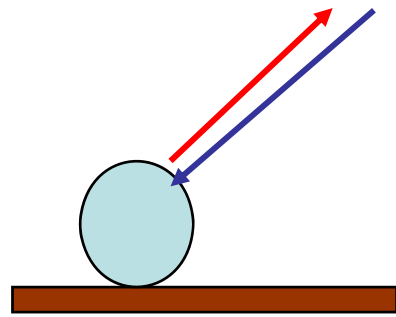
FDTDによる散乱のシミュレーション

2面反射鏡（HH編波）

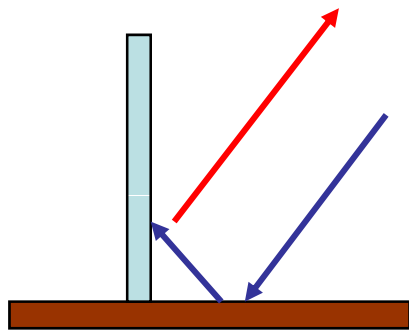
コンクリート路面と建造物（HH偏波）

Pauli Decomposition

$$\begin{pmatrix} S_{HH} & S_{HV} \\ S_{VH} & S_{VV} \end{pmatrix} = \alpha \underbrace{\begin{pmatrix} 1 & 0 \\ 0 & 1 \end{pmatrix}}_{\text{Single Bounce}} + \beta \underbrace{\begin{pmatrix} 1 & 0 \\ 0 & -1 \end{pmatrix}}_{\text{Double Bounce}} + \gamma \underbrace{\begin{pmatrix} 0 & 1 \\ 1 & 0 \end{pmatrix}}_{\text{Volume Scattering}}$$



1回反射



2回反射

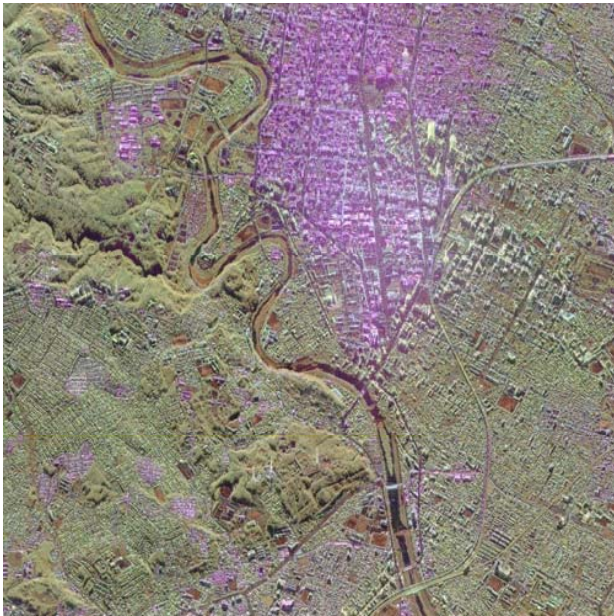
$$\alpha = \frac{S_{HH} + S_{VV}}{2}$$

$$\beta = \frac{S_{HH} - S_{VV}}{2}$$

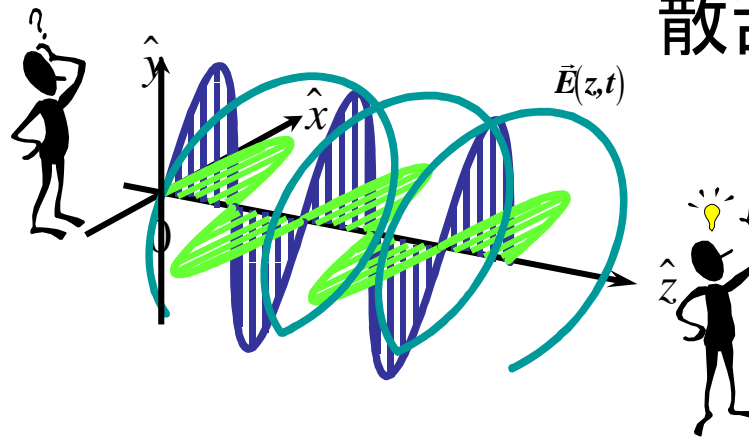
$$\gamma = S_{HV}$$

レーダポーラリメトリの情報量

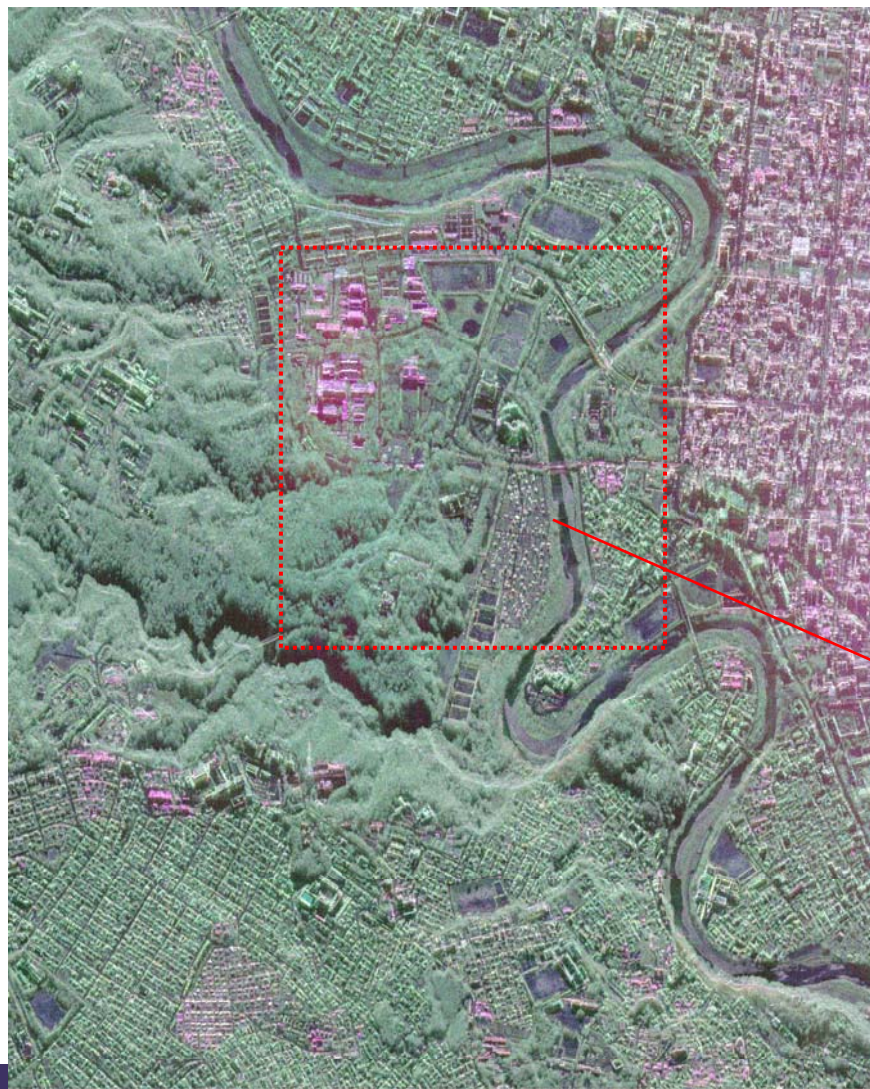
$$[\mathbf{S}] = \begin{bmatrix} S_{HH} & S_{HV} \\ S_{VH} & S_{VV} \end{bmatrix} = |\sigma^0| e^{j\phi_{HH}} \begin{bmatrix} 1 & \tilde{S}_{HV} \\ \tilde{S}_{VH} & \tilde{S}_{VV} \end{bmatrix}$$



Sinclair Matrix
Scattering Matrix
散乱行列



偏波合成画像



移動方向 ←

照射方向 ↓

HH:赤

HV:緑

VV:青



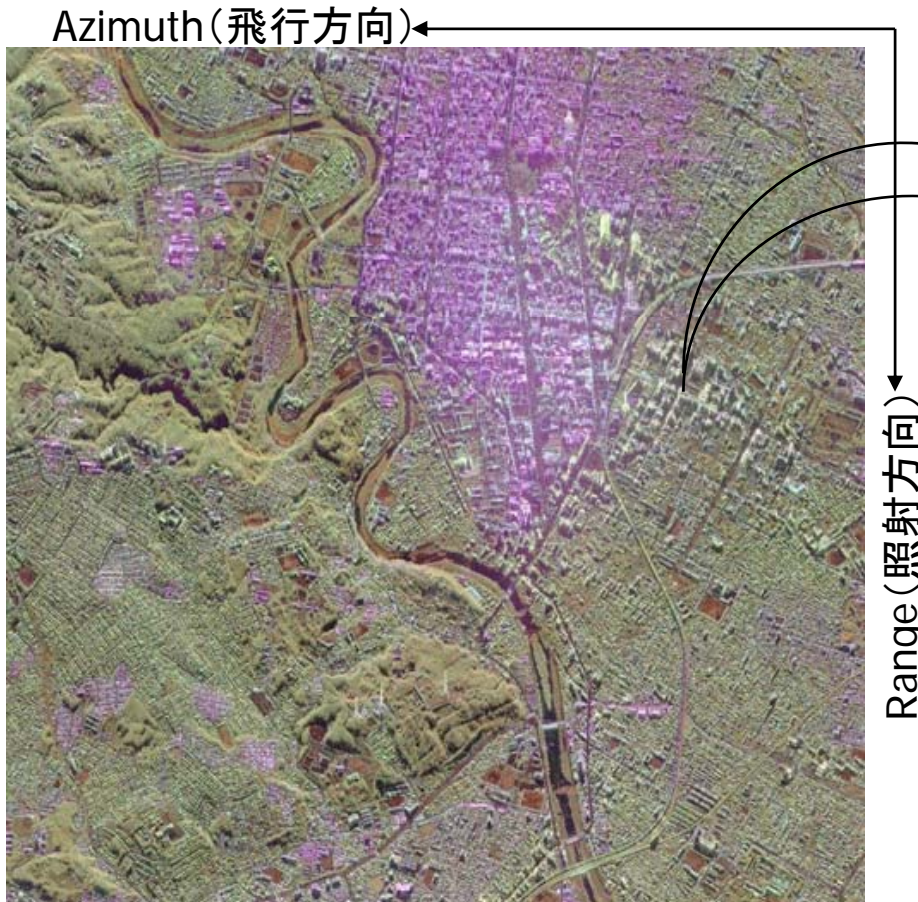
仙台市

川内キャンパス

TOHOKU UNIVERSITY



Pi-SAR POLSAR Image



Sendai City, 4000pixels*4000pixels,
5000m*5000m, X-band, HH, HV, VV

Sinclair Matrix, Scattering Matrix, 散乱行列

$$[S] = \begin{bmatrix} S_{HH} & S_{HV} \\ S_{VH} & S_{VV} \end{bmatrix}$$

POLSAR dataとは散乱行列からなるデータであり、POLSAR画像データはピクセルごとに1つの散乱行列が対応する二次元データ。

[S]は次式のように定義。

$$\begin{bmatrix} E_H^s \\ E_V^s \end{bmatrix} = [S] \begin{bmatrix} E_H^t \\ E_V^t \end{bmatrix} = \begin{bmatrix} S_{HH} & S_{HV} \\ S_{VH} & S_{VV} \end{bmatrix} \begin{bmatrix} E_H^t \\ E_V^t \end{bmatrix}$$

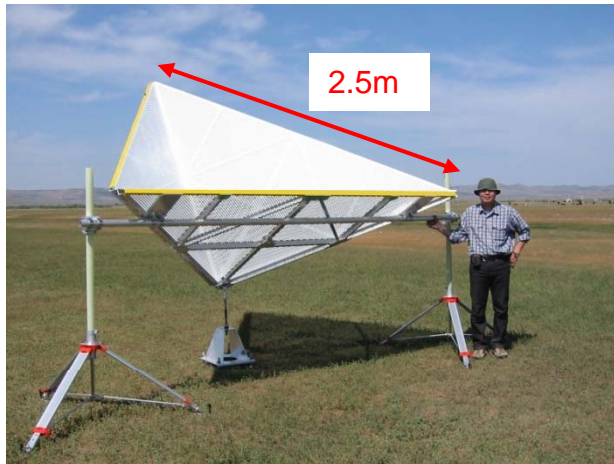
通常、レーダ観測では直線の水平偏波Hと垂直偏波Vが使われ、 E^t は送信電界、 E^s は受信電界を表す。例えば、 S_{HV} とは垂直偏波Vで送信、水平偏波Hで受信するチャンネルの偏波情報を表す。

Overview of Site

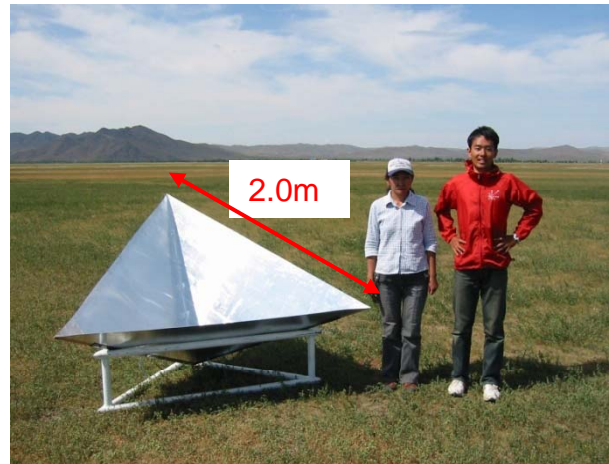


F. Hatch and Tank

CRs



A. L-size Trihedral CR



B. M-size Trihedral CR



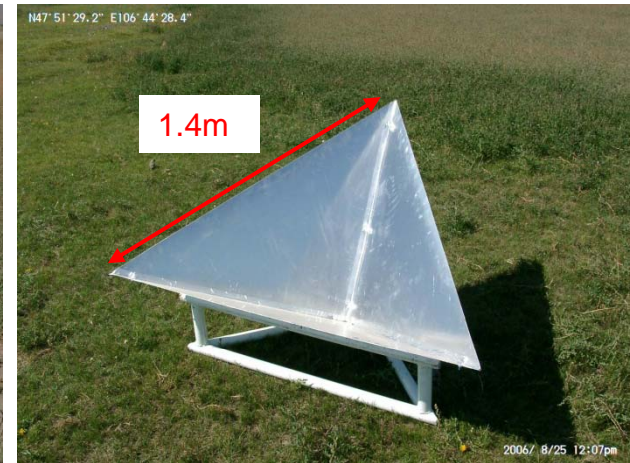
F. Hatch and tank



C. Dihedral CR

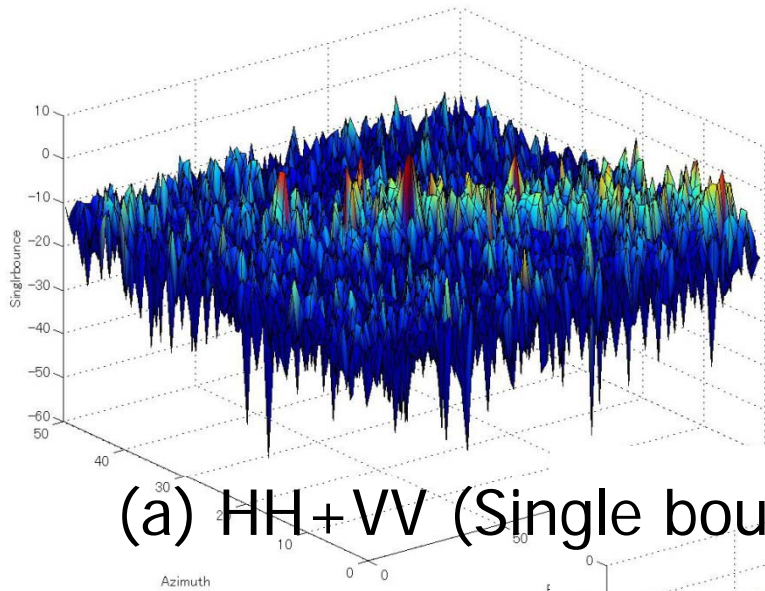


D. S-size Trihedral CR

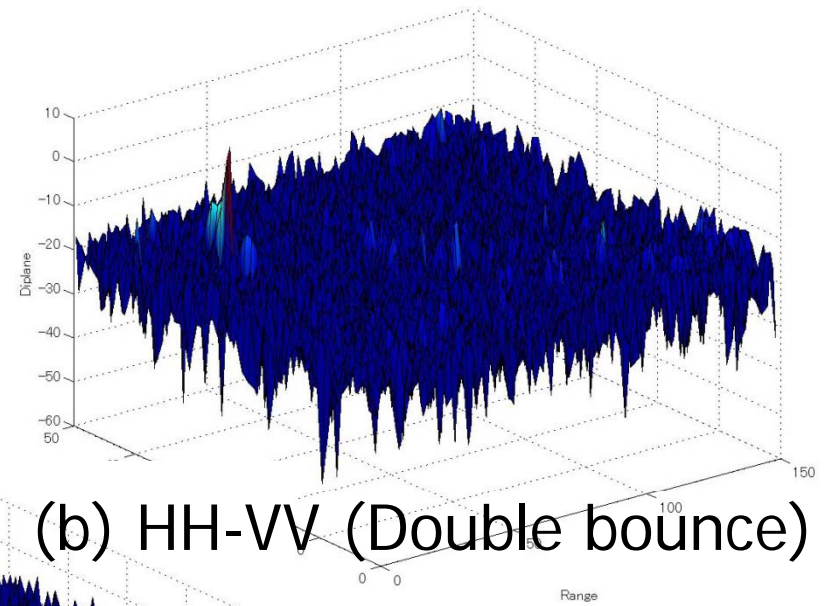


E. S-size Trihedral CR

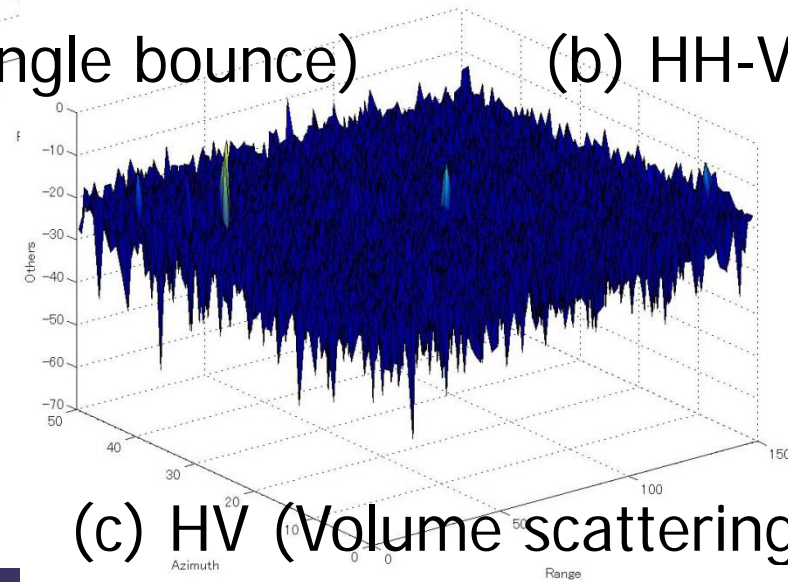
Pauli decomposed polarimetric SAR image of targets



(a) $HH+VV$ (Single bounce)



(b) $HH-VV$ (Double bounce)



(c) HV (Volume scattering)

偏波シグネチャ

$$P = |V|^2 = |\mathbf{h}^T [S] \mathbf{E}_t|^2$$

偏波受信電力

$$\mathbf{E}_t = \begin{bmatrix} \cos \tau & -\sin \tau \\ \sin \tau & \cos \tau \end{bmatrix} \begin{bmatrix} \cos \varepsilon \\ j \sin \varepsilon \end{bmatrix}$$

Tilt angle τ

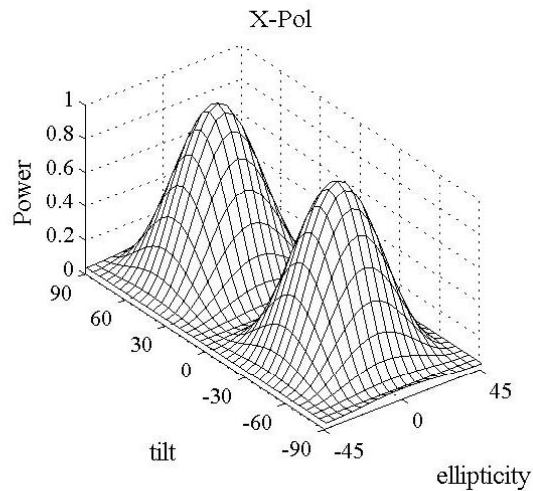
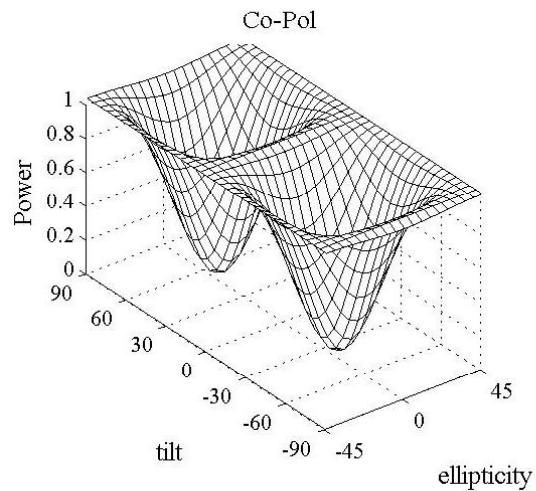
(Orientation angle)

Ellipticity angle ε

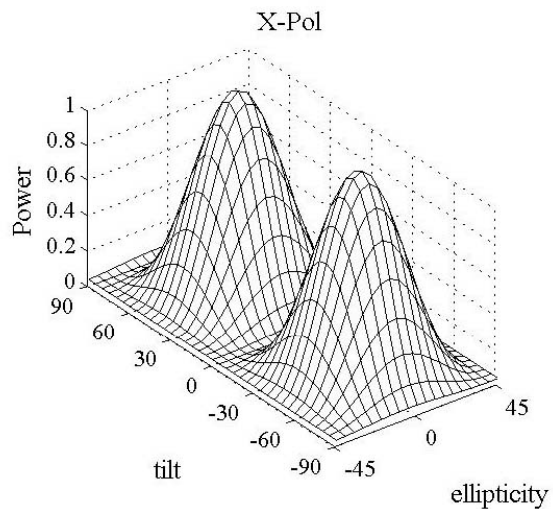
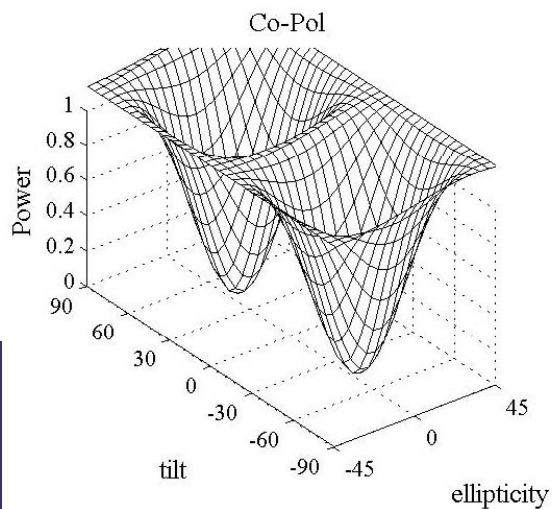
Co-Pol(平行偏波)とX-Pol(直交偏波)について
 τ と ε をパラメータにして受信電力を図示する
2x2 行列を視覚的に理解する手段

ポーラリメトリック シグネチャ

-2x2散乱行列の視覚的判断-



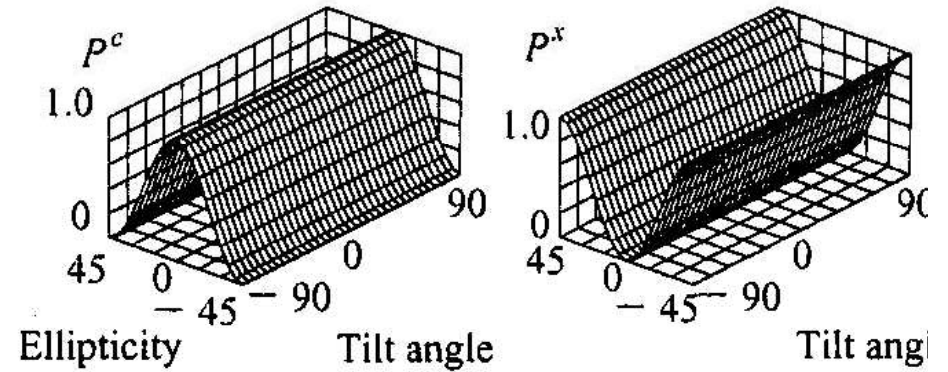
Theoretical



Measured

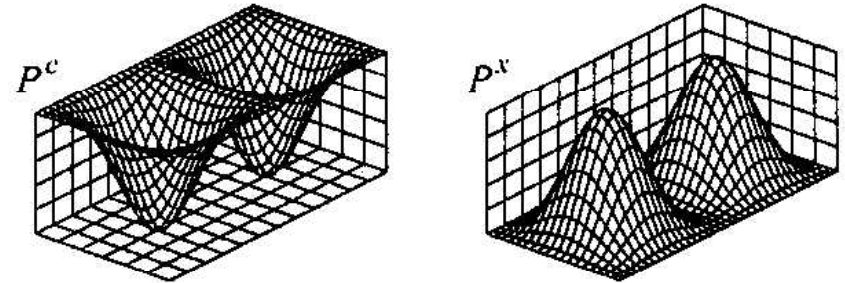
三面コーナリフレクタ (平板, 球)

$$[S] = \begin{bmatrix} 1 & 0 \\ 0 & 1 \end{bmatrix}, \quad [K] = \begin{bmatrix} 1 & 0 & 0 & 0 \\ 0 & 1 & 0 & 0 \\ 0 & 0 & 1 & 0 \\ 0 & 0 & 0 & -1 \end{bmatrix}$$



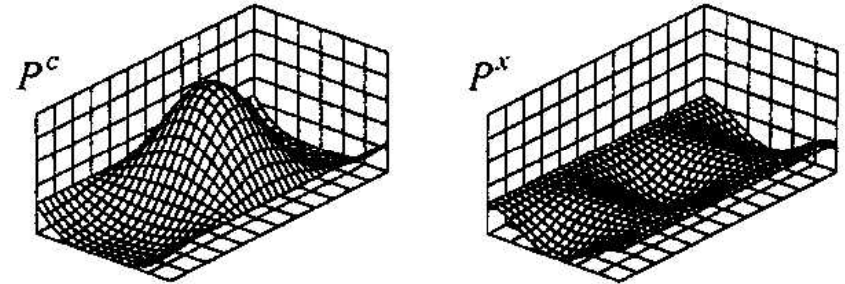
二面コーナリフレクタ

$$[S] = \begin{bmatrix} 1 & 0 \\ 0 & -1 \end{bmatrix}, \quad [K] = \begin{bmatrix} 1 & 0 & 0 & 0 \\ 0 & 1 & 0 & 0 \\ 0 & 0 & -1 & 0 \\ 0 & 0 & 0 & 1 \end{bmatrix}$$



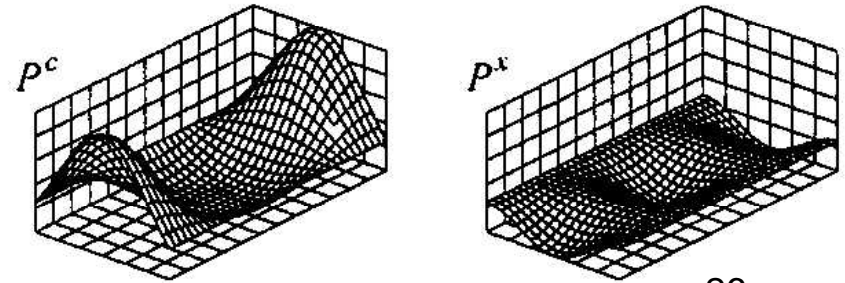
水平ダイポール

$$[S] = \begin{bmatrix} 1 & 0 \\ 0 & 0 \end{bmatrix}, \quad [K] = \frac{1}{2} \begin{bmatrix} 1 & 1 & 0 & 0 \\ 1 & 1 & 0 & 0 \\ 0 & 0 & 0 & 0 \\ 0 & 0 & 0 & 0 \end{bmatrix}$$



垂直ダイポール

$$[S] = \begin{bmatrix} 0 & 0 \\ 0 & 1 \end{bmatrix}, \quad [K] = \frac{1}{2} \begin{bmatrix} 1 & -1 & 0 & 0 \\ -1 & 1 & 0 & 0 \\ 0 & 0 & 0 & 0 \\ 0 & 0 & 0 & 0 \end{bmatrix}$$

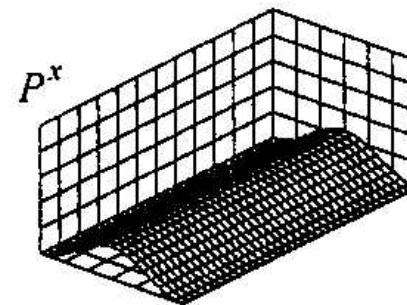
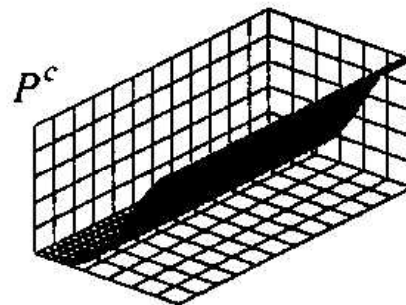


Co-Pol チャネル

X-Pol チャネル

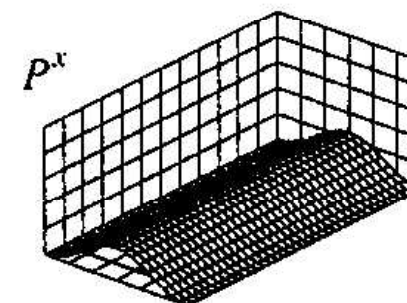
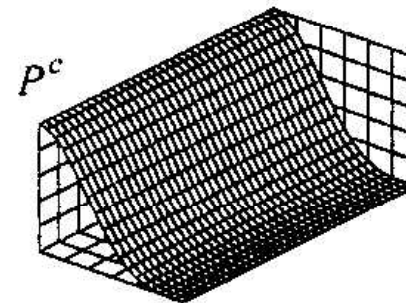
左ヘリックス

$$[S] = \frac{1}{2} \begin{bmatrix} 1 & j \\ j & -1 \end{bmatrix}, \quad [K] = \frac{1}{2} \begin{bmatrix} 1 & 0 & 0 & -1 \\ 0 & 0 & 0 & 0 \\ 0 & 0 & 0 & 0 \\ -1 & 0 & 0 & 1 \end{bmatrix}$$



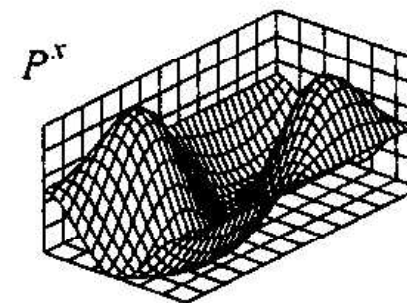
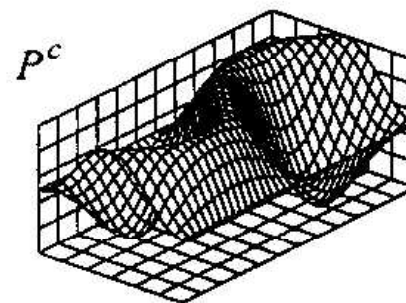
右ヘリックス

$$[S] = \frac{1}{2} \begin{bmatrix} 1 & -j \\ -j & -1 \end{bmatrix}, \quad [K] = \frac{1}{2} \begin{bmatrix} 1 & 0 & 0 & 1 \\ 0 & 0 & 0 & 0 \\ 0 & 0 & 0 & 0 \\ 1 & 0 & 0 & 1 \end{bmatrix}$$



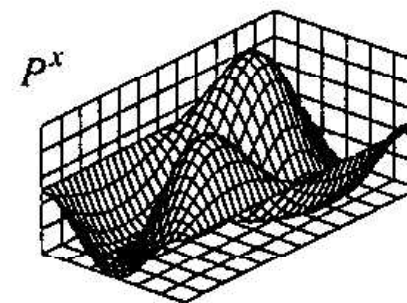
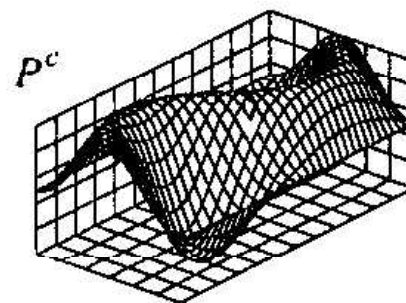
$\lambda/8$ 直交ダイポール

$$[S] = \begin{bmatrix} 0 & 0 \\ 0 & -j \end{bmatrix}, \quad [K] = \begin{bmatrix} 1 & 0 & 0 & 0 \\ 0 & 0 & 0 & 0 \\ 0 & 0 & 0 & 1 \\ 0 & 0 & 1 & 0 \end{bmatrix}$$



$-\lambda/8$ 直交ダイポール

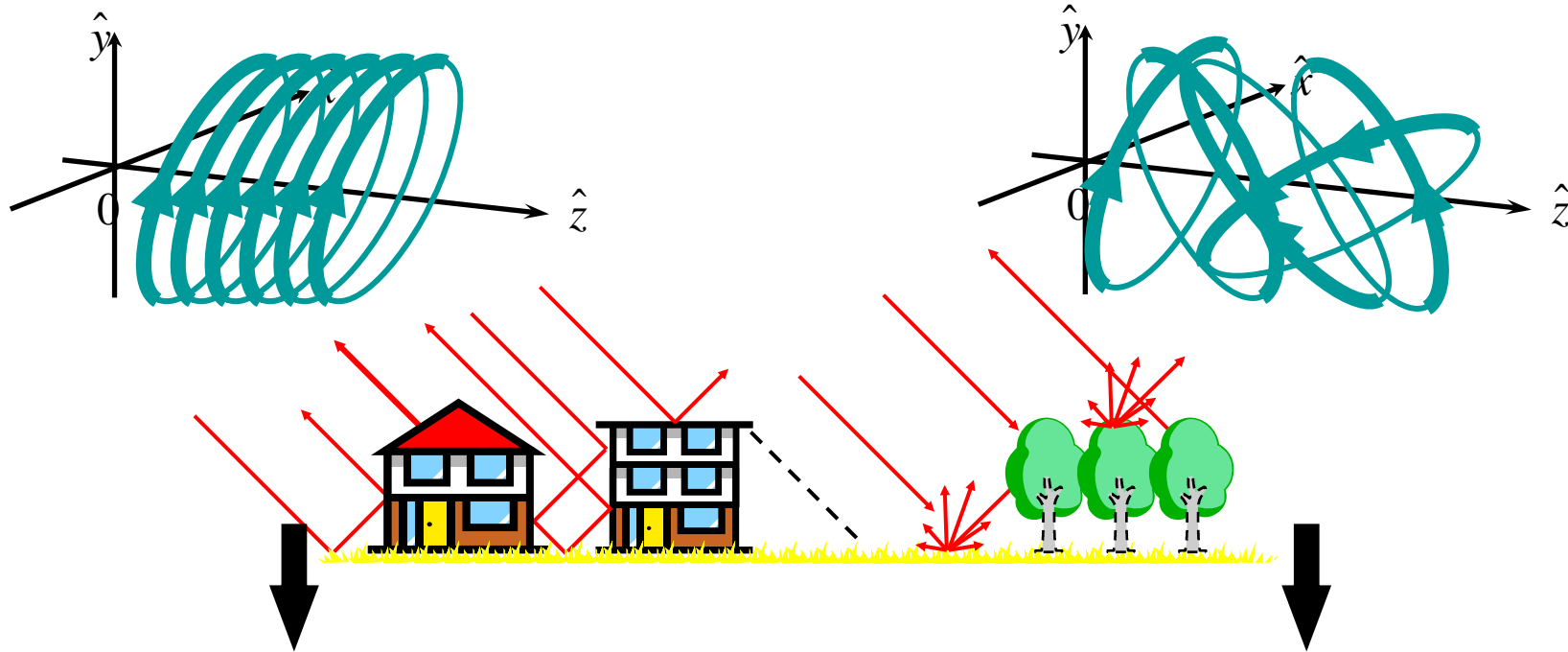
$$[S] = \begin{bmatrix} 0 & 0 \\ 0 & j \end{bmatrix}, \quad [K] = \begin{bmatrix} 1 & 0 & 0 & 0 \\ 0 & 0 & 0 & 0 \\ 0 & 0 & 0 & -1 \\ 0 & 0 & -1 & 0 \end{bmatrix}$$



Co-Pol チャネル

X-Pol チャネル

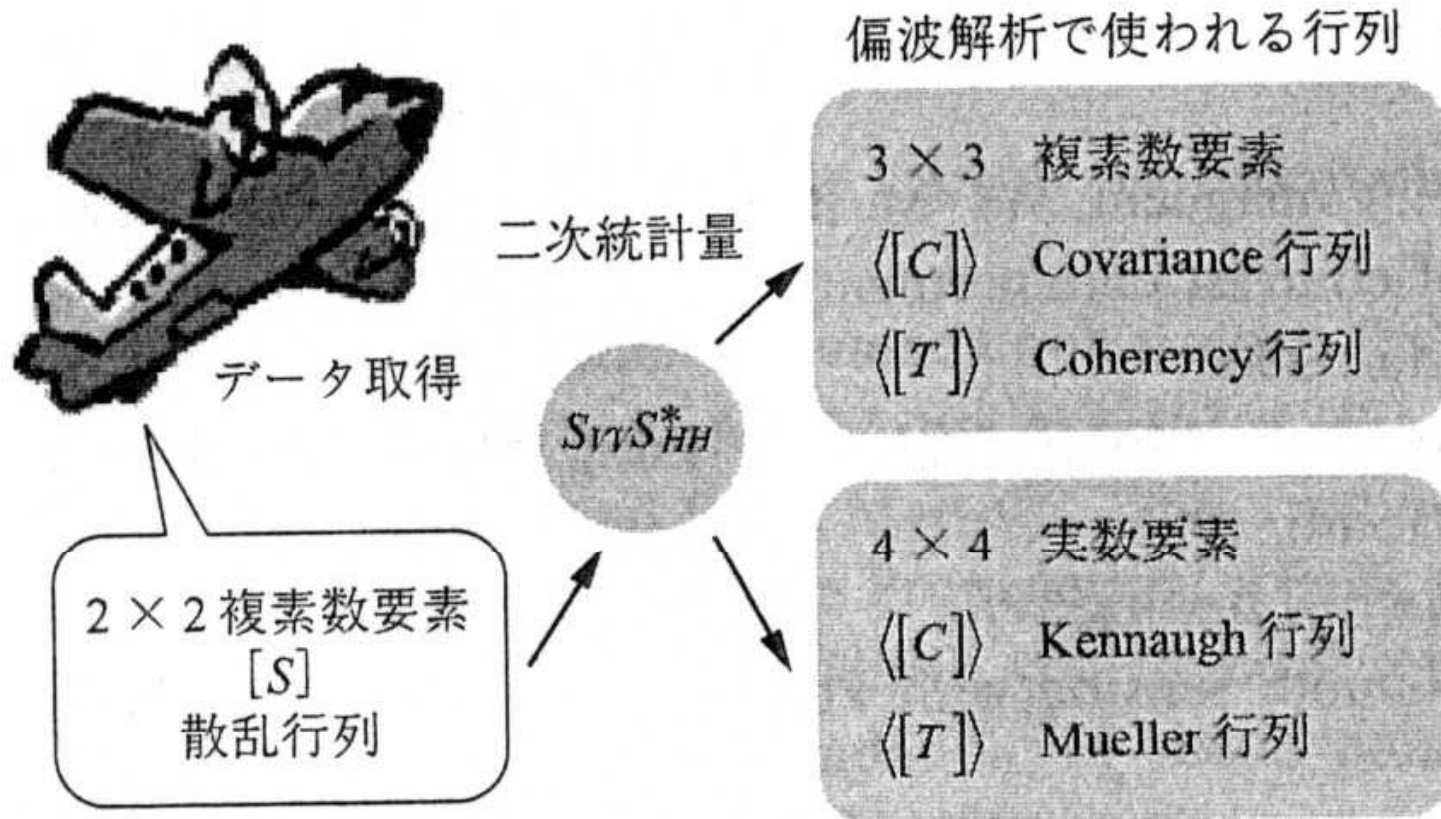
Partially Polarized Waves



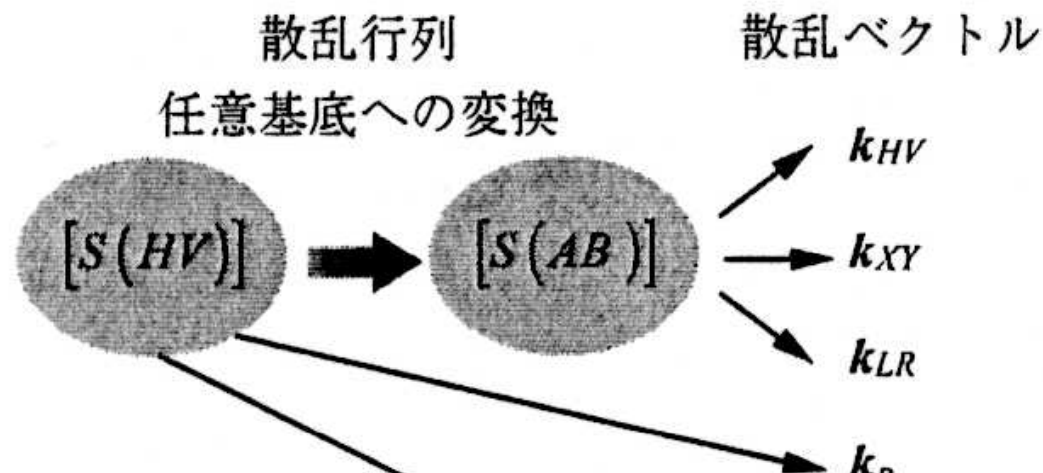
DETERMINISTIC SCATTERING
COMPLETELY POLARISED WAVE
STATISTICAL DESCRIPTION

RANDOM SCATTERING
PARTIALLY POLARISED WAVE
Polarisation Ellipse varies in time
Amplitude, Phase: Random processes

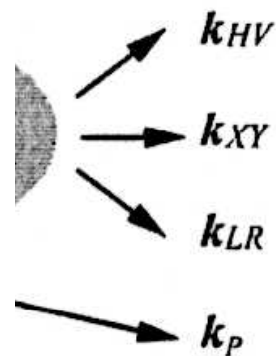
散乱行列の二次統計量



散乱行列から他の形式への変換



散乱ベクトル



vS_{HH}^*

平均化

$$\langle k_{HV} k_{HV}^\dagger \rangle = \langle [C(HV)] \rangle$$

$$\langle k_{XY} k_{XY}^\dagger \rangle = \langle [C(XY)] \rangle$$

$$\langle k_{LR} k_{LR}^\dagger \rangle = \langle [C(LR)] \rangle$$

$$\langle k_p k_p^\dagger \rangle = \langle [T] \rangle$$

$$\langle [M] \rangle \quad \langle [K] \rangle$$

HV 基底の Covariance 行列

45° 回転した XY 基底の Covariance 行列

円偏波基底の Covariance 行列

Coherency 行列

Mueller 行列, Kennaugh 行列



散乱ベクトル(基底変換)

$$\mathbf{k}_{HV} = \begin{bmatrix} S_{HH} \\ \sqrt{2}S_{HV} \\ S_{VV} \end{bmatrix} = \mathbf{k}_L$$

HV基底

$$\mathbf{k}_{hv} = \begin{bmatrix} S_{hh} \\ \sqrt{2}S_{hv} \\ S_{vv} \end{bmatrix} = [U_\theta] \mathbf{k}_L, \quad [U_\theta] = \begin{bmatrix} \cos^2 \theta & \sqrt{2} \sin \theta \cos \theta & \sin^2 \theta \\ -\sqrt{2} \sin \theta \cos \theta & \cos 2\theta & \sqrt{2} \sin \theta \cos \theta \\ \sin^2 \theta & -\sqrt{2} \sin \theta \cos \theta & \cos^2 \theta \end{bmatrix}$$

θ回転した
hv基底

$$\mathbf{k}_{XY} = \begin{bmatrix} S_{XX} \\ \sqrt{2}S_{XY} \\ S_{YY} \end{bmatrix} = [U_{XY}] \mathbf{k}_L, \quad [U_{XY}] = \frac{1}{2} \begin{bmatrix} 1 & \sqrt{2} & 1 \\ -\sqrt{2} & 0 & \sqrt{2} \\ 1 & -\sqrt{2} & 1 \end{bmatrix}$$

45度回転したXY基底

$$\mathbf{k}_{LR} = \begin{bmatrix} S_{LL} \\ \sqrt{2}S_{LR} \\ S_{RR} \end{bmatrix} = [U_C] \mathbf{k}_L, \quad [U_C] = \frac{1}{2} \begin{bmatrix} 1 & j\sqrt{2} & -1 \\ j\sqrt{2} & 0 & j\sqrt{2} \\ -1 & j\sqrt{2} & 1 \end{bmatrix}$$

円偏波LR基底

散乱ベクトル

	<i>HV</i>		<i>XY</i>		<i>LR</i>		パウリ
	$[S(HV)]$	k_{HV}	$[S(XY)]$	k_{XY}	$[S(LR)]$	k_{LR}	k_P
平板, 球	$\begin{bmatrix} 1 & 0 \\ 0 & 1 \end{bmatrix}$	$\begin{bmatrix} 1 \\ 0 \\ 1 \end{bmatrix}$	$\begin{bmatrix} 1 & 0 \\ 0 & 1 \end{bmatrix}$	$\begin{bmatrix} 1 \\ 0 \\ 1 \end{bmatrix}$	$\begin{bmatrix} 0 & j \\ j & 0 \end{bmatrix}$	$\begin{bmatrix} 0 \\ j\sqrt{2} \\ 0 \end{bmatrix}$	$\begin{bmatrix} \sqrt{2} \\ 0 \\ 0 \end{bmatrix}$
二面 CR	$\begin{bmatrix} 1 & 0 \\ 0 & -1 \end{bmatrix}$	$\begin{bmatrix} 1 \\ 0 \\ -1 \end{bmatrix}$	$\begin{bmatrix} 0 & -1 \\ -1 & 0 \end{bmatrix}$	$\begin{bmatrix} 0 \\ -\sqrt{2} \\ 0 \end{bmatrix}$	$\begin{bmatrix} 1 & 0 \\ 0 & -1 \end{bmatrix}$	$\begin{bmatrix} 1 \\ 0 \\ -1 \end{bmatrix}$	$\begin{bmatrix} 0 \\ \sqrt{2} \\ 0 \end{bmatrix}$
H ダイポール	$\begin{bmatrix} 1 & 0 \\ 0 & 0 \end{bmatrix}$	$\begin{bmatrix} 1 \\ 0 \\ 0 \end{bmatrix}$	$\frac{1}{2}\begin{bmatrix} 1 & -1 \\ -1 & 1 \end{bmatrix}$	$\frac{1}{2}\begin{bmatrix} 1 \\ -\sqrt{2} \\ -1 \end{bmatrix}$	$\frac{1}{2}\begin{bmatrix} 1 & j \\ j & -1 \end{bmatrix}$	$\frac{1}{2}\begin{bmatrix} 1 \\ j\sqrt{2} \\ -1 \end{bmatrix}$	$\frac{1}{\sqrt{2}}\begin{bmatrix} 1 \\ 1 \\ 0 \end{bmatrix}$
V ダイポール	$\begin{bmatrix} 0 & 0 \\ 0 & 1 \end{bmatrix}$	$\begin{bmatrix} 0 \\ 0 \\ 1 \end{bmatrix}$	$\frac{1}{2}\begin{bmatrix} 1 & 1 \\ 1 & 1 \end{bmatrix}$	$\frac{1}{2}\begin{bmatrix} 1 \\ \sqrt{2} \\ 1 \end{bmatrix}$	$\frac{1}{2}\begin{bmatrix} -1 & j \\ j & 1 \end{bmatrix}$	$\frac{1}{2}\begin{bmatrix} -1 \\ j\sqrt{2} \\ 1 \end{bmatrix}$	$\frac{1}{\sqrt{2}}\begin{bmatrix} 1 \\ -1 \\ 0 \end{bmatrix}$
左ヘリックス	$\frac{1}{2}\begin{bmatrix} 1 & j \\ j & -1 \end{bmatrix}$	$\frac{1}{2}\begin{bmatrix} 1 \\ j\sqrt{2} \\ -1 \end{bmatrix}$	$\frac{1}{2}\begin{bmatrix} j & -1 \\ -1 & -j \end{bmatrix}$	$\frac{1}{2}\begin{bmatrix} -j \\ -\sqrt{2} \\ -j \end{bmatrix}$	$\begin{bmatrix} 0 & 0 \\ 0 & -1 \end{bmatrix}$	$\begin{bmatrix} 0 \\ 0 \\ -1 \end{bmatrix}$	$\frac{1}{\sqrt{2}}\begin{bmatrix} 0 \\ 1 \\ j \end{bmatrix}$
右ヘリックス	$\frac{1}{2}\begin{bmatrix} 1 & -j \\ -j & -1 \end{bmatrix}$	$\frac{1}{2}\begin{bmatrix} 1 \\ -j\sqrt{2} \\ -1 \end{bmatrix}$	$\frac{1}{2}\begin{bmatrix} -j & -1 \\ -1 & j \end{bmatrix}$	$\frac{1}{2}\begin{bmatrix} -j \\ -\sqrt{2} \\ -j \end{bmatrix}$	$\begin{bmatrix} 1 & 0 \\ 0 & 0 \end{bmatrix}$	$\begin{bmatrix} 1 \\ 0 \\ 0 \end{bmatrix}$	$\frac{1}{\sqrt{2}}\begin{bmatrix} 0 \\ 1 \\ -j \end{bmatrix}$



平均化Covariance 行列

$$\langle [C] \rangle^{HV} = \frac{1}{n} \sum^n k_{HV} k_{HV}^\dagger$$

$$= \frac{1}{2} \begin{bmatrix} \langle S_{HH} S_{HH}^* \rangle & \sqrt{2} \langle S_{HH} S_{HV}^* \rangle & \langle S_{HH} S_{VV}^* \rangle \\ \sqrt{2} \langle S_{HV} S_{HH}^* \rangle & 2 \langle S_{HV} S_{HV}^* \rangle & \sqrt{2} \langle S_{HV} S_{VV}^* \rangle \\ \langle S_{VV} S_{HH}^* \rangle & \sqrt{2} \langle S_{VV} S_{HV}^* \rangle & \langle S_{VV} S_{VV}^* \rangle \end{bmatrix}$$

平均化Covariance(分散)行列の意味

$$\langle S_{HH} S_{HH}^* \rangle$$

対角要素: パワー

$$\langle S_{HH} S_{VV}^* \rangle$$

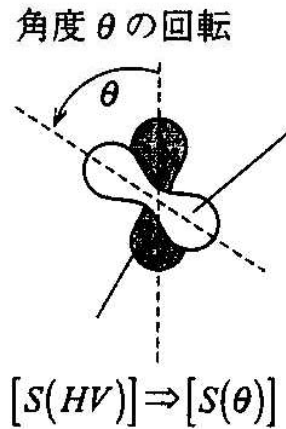
非対角要素: 成分間の位
相差の平均値: 安定性

$$\gamma(HH, VV) = \frac{\langle S_{HH} S_{VV}^* \rangle}{\langle S_{HH} S_{HH}^* \rangle \langle S_{VV} S_{VV}^* \rangle}$$

平均化Coherence 行列

$$\begin{aligned} \langle [\mathbf{T}] \rangle &= \frac{1}{n} \sum^n k_P k_P^* \\ &= \frac{1}{2} \begin{bmatrix} \langle |S_{HH} + S_{VV}|^2 \rangle & \langle (S_{HH} + S_{VV})(S_{HH} - S_{VV})^* \rangle & \langle 2S_{HV}^*(S_{HH} + S_{VV}) \rangle \\ \langle (S_{HH} - S_{VV})(S_{HH} + S_{VV})^* \rangle & \langle |S_{HH} - S_{VV}|^2 \rangle & \langle 2S_{HV}^*(S_{HH} - S_{VV}) \rangle \\ \langle 2S_{HV}(S_{HH} + S_{VV})^* \rangle & \langle 2S_{HV}(S_{HH} - S_{VV})^* \rangle & \langle 4|S_{HV}|^2 \rangle \end{bmatrix} \end{aligned}$$

数学的な平均化



散乱ベクトル

$$k_{hv} = [U_\theta] k_L$$



$$[C(\theta)] = k_{hv} k_{hv}^\dagger$$

Covariance 行列

理論的な平均化

$$\langle [C(\theta)] \rangle^{HV} = \int_0^{2\pi} [C(\theta)] p(\theta) d\theta$$

二次統計量を角度平均することに相当

$$\langle [C(\theta)] \rangle^{HV} = \int_0^{2\pi} [C(\theta)] p(\theta) d\theta$$

$$p(\theta)$$

ターゲットの方向に関する確率
密度関数

確率密度関数

垂直成分卓越

$$\theta = \frac{\pi}{2}$$

水平成分卓越

$$p(\theta) = \frac{1}{2} \sin \theta$$

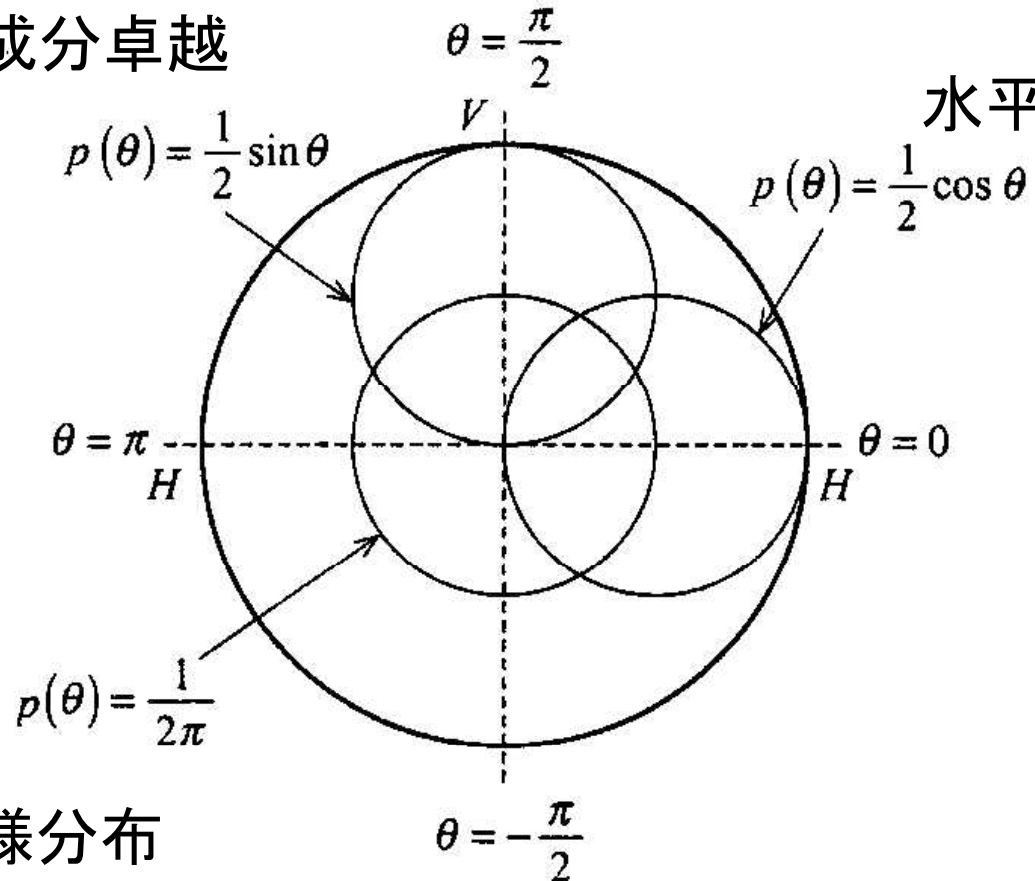
$$p(\theta) = \frac{1}{2} \cos \theta$$

$$\theta = \pi \quad H \quad \theta = 0 \quad H$$

$$p(\theta) = \frac{1}{2\pi}$$

一様分布

$$\theta = -\frac{\pi}{2}$$



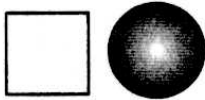
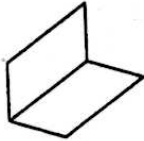



代表的なターゲットの平均化Covariance 行列

	散乱行列 $\begin{bmatrix} S_{HH} & S_{HV} \\ S_{VH} & S_{VV} \end{bmatrix}$	平均化 Covariance 行列 $\langle [C(\theta)] \rangle$		
		$p(\theta) = \frac{1}{2\pi}$	$p(\theta) = \frac{1}{2} \sin \theta$	$p(\theta) = \frac{1}{2} \cos \theta$
平板, 球	$\begin{bmatrix} 1 & 0 \\ 0 & 1 \end{bmatrix}$	$\begin{bmatrix} 1 & 0 & 1 \\ 0 & 0 & 0 \\ 1 & 0 & 1 \end{bmatrix}$	$\begin{bmatrix} 1 & 0 & 1 \\ 0 & 0 & 0 \\ 1 & 0 & 1 \end{bmatrix}$	$\begin{bmatrix} 1 & 0 & 1 \\ 0 & 0 & 0 \\ 1 & 0 & 1 \end{bmatrix}$
Hダイポール	$\begin{bmatrix} 1 & 0 \\ 0 & 0 \end{bmatrix}$	$\frac{1}{8} \begin{bmatrix} 3 & 0 & 1 \\ 0 & 2 & 0 \\ 1 & 0 & 3 \end{bmatrix}$	$\frac{1}{15} \begin{bmatrix} 3 & 0 & 2 \\ 0 & 4 & 0 \\ 2 & 0 & 8 \end{bmatrix}$	$\frac{1}{15} \begin{bmatrix} 8 & 0 & 2 \\ 0 & 4 & 0 \\ 2 & 0 & 3 \end{bmatrix}$
Vダイポール	$\begin{bmatrix} 0 & 0 \\ 0 & 1 \end{bmatrix}$	$\frac{1}{8} \begin{bmatrix} 3 & 0 & 1 \\ 0 & 2 & 0 \\ 1 & 0 & 3 \end{bmatrix}$	$\frac{1}{15} \begin{bmatrix} 8 & 0 & 2 \\ 0 & 4 & 0 \\ 2 & 0 & 3 \end{bmatrix}$	$\frac{1}{15} \begin{bmatrix} 3 & 0 & 2 \\ 0 & 4 & 0 \\ 2 & 0 & 8 \end{bmatrix}$
H二面CR	$\begin{bmatrix} 1 & 0 \\ 0 & -1 \end{bmatrix}$	$\frac{1}{2} \begin{bmatrix} 1 & 0 & -1 \\ 0 & 2 & 0 \\ -1 & 0 & 1 \end{bmatrix}$	$\frac{1}{15} \begin{bmatrix} 7 & 0 & -7 \\ 0 & 16 & 0 \\ -7 & 0 & 7 \end{bmatrix}$	$\frac{1}{15} \begin{bmatrix} 7 & 0 & -7 \\ 0 & 16 & 0 \\ -7 & 0 & 7 \end{bmatrix}$
V二面CR	$\begin{bmatrix} -1 & 0 \\ 0 & 1 \end{bmatrix}$	$\frac{1}{2} \begin{bmatrix} 1 & 0 & -1 \\ 0 & 2 & 0 \\ -1 & 0 & 1 \end{bmatrix}$	$\frac{1}{15} \begin{bmatrix} 7 & 0 & -7 \\ 0 & 16 & 0 \\ -7 & 0 & 7 \end{bmatrix}$	$\frac{1}{15} \begin{bmatrix} 7 & 0 & -7 \\ 0 & 16 & 0 \\ -7 & 0 & 7 \end{bmatrix}$
左ヘリックス	$\frac{1}{2} \begin{bmatrix} 1 & j \\ j & -1 \end{bmatrix}$	$\frac{1}{4} \begin{bmatrix} 1 & -j\sqrt{2} & -1 \\ j\sqrt{2} & 2 & -j\sqrt{2} \\ -1 & j\sqrt{2} & 1 \end{bmatrix}$	$\frac{1}{4} \begin{bmatrix} 1 & -j\sqrt{2} & -1 \\ j\sqrt{2} & 2 & -j\sqrt{2} \\ -1 & j\sqrt{2} & 1 \end{bmatrix}$	$\frac{1}{4} \begin{bmatrix} 1 & -j\sqrt{2} & -1 \\ j\sqrt{2} & 2 & -j\sqrt{2} \\ -1 & j\sqrt{2} & 1 \end{bmatrix}$
右ヘリックス	$\frac{1}{2} \begin{bmatrix} 1 & -j \\ -j & -1 \end{bmatrix}$	$\frac{1}{4} \begin{bmatrix} 1 & -j\sqrt{2} & -1 \\ -j\sqrt{2} & 2 & j\sqrt{2} \\ -1 & -j\sqrt{2} & 1 \end{bmatrix}$	$\frac{1}{4} \begin{bmatrix} 1 & j\sqrt{2} & -1 \\ -j\sqrt{2} & 2 & j\sqrt{2} \\ -1 & -j\sqrt{2} & 1 \end{bmatrix}$	$\frac{1}{4} \begin{bmatrix} 1 & j\sqrt{2} & -1 \\ -j\sqrt{2} & 2 & j\sqrt{2} \\ -1 & -j\sqrt{2} & -1 \end{bmatrix}$

代表的なターゲットの平均化Coherency 行列

	散乱行列 $\begin{bmatrix} S_{HH} & S_{HV} \\ S_{VH} & S_{VV} \end{bmatrix}$	平均化Coherency 行列 $\langle [T(\theta)] \rangle$		
		$P(\theta) = \frac{1}{2\pi}$	$P(\theta) = \frac{1}{2} \sin \theta$	$P(\theta) = \frac{1}{2} \cos \theta$
平板, 球	$\begin{bmatrix} 1 & 0 \\ 0 & 1 \end{bmatrix}$	$\begin{bmatrix} 2 & 0 & 0 \\ 0 & 0 & 0 \\ 0 & 0 & 0 \end{bmatrix}$	$\begin{bmatrix} 2 & 0 & 0 \\ 0 & 0 & 0 \\ 0 & 0 & 0 \end{bmatrix}$	$\begin{bmatrix} 2 & 0 & 0 \\ 0 & 0 & 0 \\ 0 & 0 & 0 \end{bmatrix}$
Hダイポール	$\begin{bmatrix} 1 & 0 \\ 0 & 0 \end{bmatrix}$	$\frac{1}{4} \begin{bmatrix} 2 & 0 & 0 \\ 0 & 1 & 0 \\ 0 & 0 & 1 \end{bmatrix}$	$\frac{1}{30} \begin{bmatrix} 15 & -5 & 0 \\ -5 & 7 & 0 \\ 0 & 0 & 8 \end{bmatrix}$	$\frac{1}{30} \begin{bmatrix} 15 & -5 & 0 \\ -5 & 7 & 0 \\ 0 & 0 & 8 \end{bmatrix}$
Vダイポール	$\begin{bmatrix} 0 & 0 \\ 0 & 1 \end{bmatrix}$	$\frac{1}{4} \begin{bmatrix} 2 & 0 & 0 \\ 0 & 1 & 0 \\ 0 & 0 & 1 \end{bmatrix}$	$\frac{1}{30} \begin{bmatrix} 15 & 5 & 0 \\ 5 & 7 & 0 \\ 0 & 0 & 8 \end{bmatrix}$	$\frac{1}{30} \begin{bmatrix} 15 & 5 & 0 \\ 5 & 7 & 0 \\ 0 & 0 & 8 \end{bmatrix}$
H二面CR	$\begin{bmatrix} 1 & 0 \\ 0 & -1 \end{bmatrix}$	$\frac{1}{2} \begin{bmatrix} 0 & 0 & 0 \\ 0 & 1 & 0 \\ 0 & 0 & 1 \end{bmatrix}$	$\frac{1}{15} \begin{bmatrix} 0 & 0 & 0 \\ 0 & 14 & 0 \\ 0 & 0 & 16 \end{bmatrix}$	$\frac{1}{15} \begin{bmatrix} 0 & 0 & 0 \\ 0 & 14 & 0 \\ 0 & 0 & 16 \end{bmatrix}$
V二面CR	$\begin{bmatrix} -1 & 0 \\ 0 & 1 \end{bmatrix}$	$\frac{1}{2} \begin{bmatrix} 0 & 0 & 0 \\ 0 & 1 & 0 \\ 0 & 0 & 1 \end{bmatrix}$	$\frac{1}{15} \begin{bmatrix} 0 & 0 & 0 \\ 0 & 14 & 0 \\ 0 & 0 & 16 \end{bmatrix}$	$\frac{1}{15} \begin{bmatrix} 0 & 0 & 0 \\ 0 & 14 & 0 \\ 0 & 0 & 16 \end{bmatrix}$
左ヘリックス	$\frac{1}{2} \begin{bmatrix} 1 & j \\ j & -1 \end{bmatrix}$	$\frac{1}{2} \begin{bmatrix} 0 & 0 & 0 \\ 0 & 1 & -j \\ 0 & j & 1 \end{bmatrix}$	$\frac{1}{2} \begin{bmatrix} 0 & 0 & 0 \\ 0 & 1 & -j \\ 0 & j & 1 \end{bmatrix}$	$\frac{1}{2} \begin{bmatrix} 0 & 0 & 0 \\ 0 & 1 & -j \\ 0 & j & 1 \end{bmatrix}$
右ヘリックス	$\frac{1}{2} \begin{bmatrix} 1 & -j \\ -j & -1 \end{bmatrix}$	$\frac{1}{2} \begin{bmatrix} 0 & 0 & 0 \\ 0 & 1 & j \\ 0 & -j & 1 \end{bmatrix}$	$\frac{1}{2} \begin{bmatrix} 0 & 0 & 0 \\ 0 & 1 & j \\ 0 & -j & 1 \end{bmatrix}$	$\frac{1}{2} \begin{bmatrix} 0 & 0 & 0 \\ 0 & 1 & j \\ 0 & -j & 1 \end{bmatrix}$

基本ターゲットの平均化偏波行列

	ターゲット	Covariance 行列 $\langle [C(\theta)] \rangle$	Coherency 行列 $\langle [T(\theta)] \rangle$	Kennaugh 行列 $\langle [K(\theta)] \rangle$
平板, 球		$\frac{1}{2} \begin{bmatrix} 1 & 0 & 1 \\ 0 & 0 & 0 \\ 1 & 0 & 1 \end{bmatrix}$	$\begin{bmatrix} 1 & 0 & 0 \\ 0 & 0 & 0 \\ 0 & 0 & 0 \end{bmatrix}$	$\frac{1}{2} \begin{bmatrix} 1 & 0 & 0 & 0 \\ 0 & 1 & 0 & 0 \\ 0 & 0 & 1 & 0 \\ 0 & 0 & 0 & -1 \end{bmatrix}$
二面 CR		$\frac{1}{4} \begin{bmatrix} 1 & 0 & -1 \\ 0 & 2 & 0 \\ -1 & 0 & 1 \end{bmatrix}$	$\frac{1}{2} \begin{bmatrix} 0 & 0 & 0 \\ 0 & 1 & 0 \\ 0 & 0 & 1 \end{bmatrix}$	$\frac{1}{2} \begin{bmatrix} 1 & 0 & 0 & 0 \\ 0 & 0 & 0 & 0 \\ 0 & 0 & 0 & 0 \\ 0 & 0 & 0 & 1 \end{bmatrix}$
ダイポール		$\frac{1}{8} \begin{bmatrix} 3 & 0 & 1 \\ 0 & 2 & 0 \\ 1 & 0 & 3 \end{bmatrix}$	$\frac{1}{4} \begin{bmatrix} 2 & 0 & 0 \\ 0 & 1 & 0 \\ 0 & 0 & 1 \end{bmatrix}$	$\frac{1}{4} \begin{bmatrix} 2 & 0 & 0 & 0 \\ 0 & 1 & 0 & 0 \\ 0 & 0 & 1 & 0 \\ 0 & 0 & 0 & 0 \end{bmatrix}$
左ヘリックス		$\frac{1}{4} \begin{bmatrix} 1 & -j\sqrt{2} & -1 \\ j\sqrt{2} & 2 & -j\sqrt{2} \\ -1 & j\sqrt{2} & 1 \end{bmatrix}$	$\frac{1}{2} \begin{bmatrix} 0 & 0 & 0 \\ 0 & 1 & -j \\ 0 & j & 1 \end{bmatrix}$	$\frac{1}{2} \begin{bmatrix} 1 & 0 & 0 & -1 \\ 0 & 0 & 0 & 0 \\ 0 & 0 & 0 & 0 \\ -1 & 0 & 0 & 1 \end{bmatrix}$
右ヘリックス		$\frac{1}{4} \begin{bmatrix} 1 & j\sqrt{2} & -1 \\ -j\sqrt{2} & 2 & j\sqrt{2} \\ -1 & -j\sqrt{2} & 1 \end{bmatrix}$	$\frac{1}{2} \begin{bmatrix} 0 & 0 & 1 \\ 0 & 1 & j \\ 0 & -j & 1 \end{bmatrix}$	$\frac{1}{2} \begin{bmatrix} 1 & 0 & 0 & 1 \\ 0 & 0 & 0 & 0 \\ 0 & 0 & 0 & 0 \\ 1 & 0 & 0 & 1 \end{bmatrix}$

Covariance, Coherence 行列の情報は等価

